

Лекція №16

Розділ 11. РОЗРАХУНКИ НА МІЦНІСТЬ І ЖОРСТКІСТЬ СТЕРЖНІВ ПРИ ПЛОСКОМУ ЗГИНІ

Як відомо, згин буває чистим і поперечним. Коли згинальний момент – єдиний силовий фактор в перерізі стержня, то згин називають *чистим*. Коли ж разом зі згинальним моментом в перерізі діють ще й поперечні сили, то згин називають *поперечним*.

Тема 11.1. Напруження в прямому стержні при чистому згинанні

На рис. 11.1 наведені приклади практичної реалізації умов чистого згину.

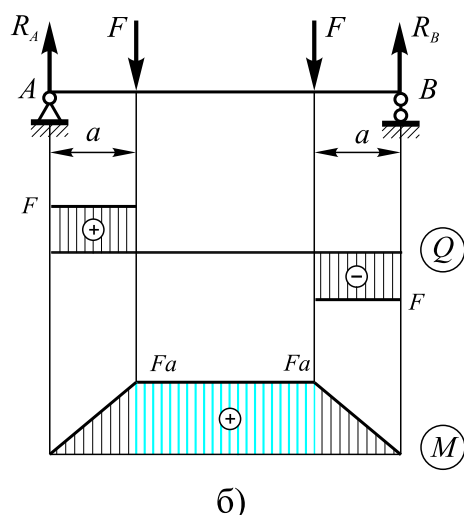
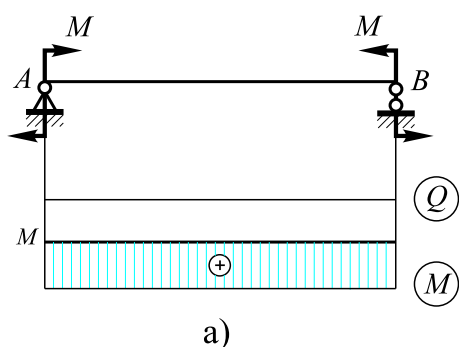


Рис. 11.1. Схеми реалізації умов чистого згину: а – за допомогою двох моментів; б – за допомогою двох сил

На рис. 11.1 а зображена двоопорна балка, на яку діють однакові за величиною протилежно спрямовані моменти. Тобто задана система сил знаходиться в рівновазі, а значить опорні реакції не виникають. Як наслідок поперечні сили в перерізах відсутні, а діють лише згинальні моменти.

Чистий згин частини стержня можна отримати, приклавши до нього дві однакові зосереджені сили на однаковій відстані від опор (див. рис. 11.1 б). Це схема так званого *чотириточкового згину*. Легко переконатися, що реакції в опорах дорівнюватимуть за величиною діючим силам: $R_A = R_B = F$. За таких умов на центральній ділянці балки між точками прикладання сил діятиме лише згинальний момент.

Щоб визначити напруження в деякому перерізі стержня при чистому згинанні, розв'яжемо відповідне інтегральне рівняння рівноваги згідно з прийнятим алгоритмом.

1. Статичний бік задачі.

З шести інтегральних рівнянь рівноваги (5.2) – (5.7) залишиться тільки рівняння для згинального моменту. Вважаючи, що згин відбувається відносно осі z (тобто вісь z перпендикулярна до площини рисунка), рівняння запишемо так:

$$M_z = \int_A \sigma y dA \quad (11.1)$$

2. Геометричний бік задачі.

Щоб дослідити характер деформування стержня при згинанні, можна провести простий експеримент, де в якості стержня використати еластичну модель, наприклад – гумову, що дозволяє отримати досить значні деформації.

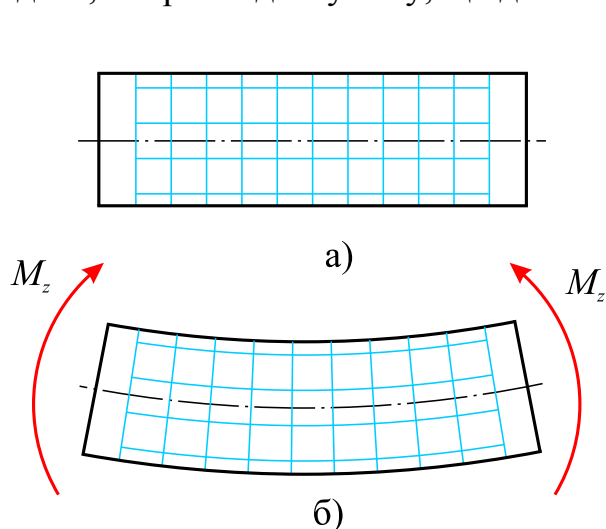


Рис. 11.2. Деформація стержня в умовах чистого згинання:
а – стержень до деформації;
б – стержень після деформації

На бічну поверхню стержня попередньо наносять прямокутну сітку поздовжніх і поперечних ліній (рис. 11.2 а). Після згинання стержня спостерігається таке:

а) поздовжні лінії стають дугами кола;

б) поперечні лінії як контури перерізів залишаються плоскими;

в) лінії контурів повертаються, залишаючись нормальними до поздовжніх волокон;

г) торці стержня, плоскі до деформації, залишаються плоскими і після деформації.

Все вище означене підтверджує виконання *гіпотези плоских перерізів* і для випадку чистого згинання стержня.

З наведеної картини деформування стержня при згинанні видно, що не всі волокна деформуються однаково. Для нашого випадку (рис. 11.2) верхні волокна скорочуються, а нижні – подовжуються (до речі, будуючи епюри згинальних моментів, ми також розрізняли стиснені і розтягнені волокна). Отже, мають бути волокна, що при згинанні стержня не змінюють довжини.

Сукупність волокон, що не змінюють своєї довжини при згинанні стержня, називається нейтральним шаром.

Нейтральний шар стержня перетинається з його поперечним перерізом по прямій, яка називається нейтральною лінією перерізу стержня.

В умовах плоского згинання нейтральний шар завжди буде перпендикулярним до силової площини, а отже і нейтральна лінія завжди буде перпендикулярною до силової лінії в перерізі (це буде показано далі).

Виділимо елемент стержня довжиною dx (рис. 11.3). Вважатимемо, що вісь x належить нейтральному шару.

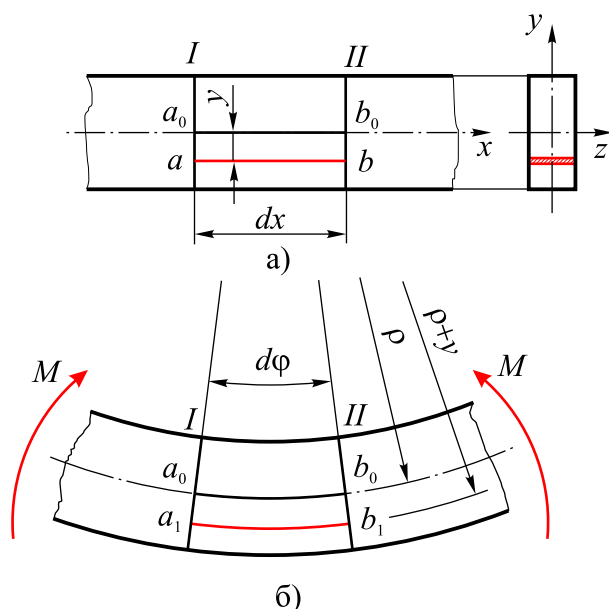


Рис. 11.3. Елемент стержня: а – до деформації; б – після деформації

Після згинання попередньо паралельні перерізи I і II повернуться на кут $d\varphi$, залишаючись плоским.

Відрізок волокна a_0b_0 , що належить нейтральному шару, довжини своєї не змінює:

$$a_0b_0 = \cup a_0b_0 \text{ або } dx = \rho d\varphi.$$

Відносну деформацію відрізка волокна ab , що знаходиться на відстані y від нейтрального шару, знайдемо як

$$\begin{aligned} \varepsilon &= \frac{\cup a_1b_1 - a_1b_1}{a_1b_1} = \frac{(\rho + y)d\varphi - dx}{dx} = \\ &= \frac{(\rho + y)d\varphi - \rho d\varphi}{\rho d\varphi} = \frac{y}{\rho}. \end{aligned}$$

Отже,

$$\varepsilon = \frac{y}{\rho}. \quad (11.2)$$

3. Фізичний бік задачі.

Оскільки, згідно з інтегральним рівнянням рівноваги (11.1), в довільній точці перерізу стержня при чистому згинанні діє тільки нормальне напруження, а бічним тиском між волокнами нехтують, то можна зробити висновок, що волокна перебувають в умовах лінійного напруженого стану. Закон Гука для лінійного напруженого стану:

$$\varepsilon = \frac{\sigma}{E}. \quad (11.3)$$

4. Синтез.

$$\sigma = E\varepsilon = \frac{E}{\rho} y. \quad (11.4)$$

$$M_z = \int_A \frac{E}{\rho} y^2 dA = \frac{E}{\rho} \int_A y^2 dA.$$

Тут $\int_A y^2 dA = I_z$ – момент інерції перерізу відносно осі z . Тоді кривина нейтрального шару стержня

$$\frac{1}{\rho} = \frac{M_z}{EI_z}. \quad (11.5)$$

Розглядаючи кривину нейтрального шару як міру деформації стержня при згинанні, вираз (11.5) можемо трактувати як закон Гука в абсолютних величинах для чистого згинання. Добуток EI_z називають *жорсткістю перерізу стержня при згині*.

Підставляючи (11.5) в (11.4), отримаємо

$$\sigma = \frac{M_z}{I_z} y. \quad (11.6)$$

Ця формула, що вперше була виведена французьким ученим К. Нав'є, дозволяє визначати нормальні напруження в будь-якій точці перерізу при згинанні. Як бачимо, закон їх розподілу по висоті перерізу лінійний. Залишається визначити розташування осі z , тобто положення нейтральної лінії в перерізі. Для цього розглянемо ті з інтегральних рівнянь рівноваги (5.2) – (5.7), які містять σ , і які в цьому розв'язанні не використовувались. А саме:

$$N = \int_A \sigma dF \quad \text{і} \quad M_y = \int_A \sigma z dF.$$

Оскільки при чистому згинанні відносно осі z $N=0$ і $M_y=0$, то, з урахуванням (11.6), маємо такі умови:

$$\frac{M_z}{I_z} \int_A y dF = \frac{M_z}{I_z} S_z = 0; \quad \frac{M_z}{I_z} \int_A y z dF = \frac{M_z}{I_z} I_{yz} = 0,$$

де S_z – статичний момент площі перерізу відносно осі z , а I_{yz} – відцентровий момент інерції перерізу.

Оскільки $\frac{M_z}{I_z} \neq 0$, то

$$S_z = 0; \quad (11.7)$$

$$I_{yz} = 0. \quad (11.8)$$

Статичний момент площі дорівнює нулю відносно осі, що проходить через центр ваги перерізу, а відцентровий момент дорівнює нулю відносно головних осей. Таким чином, осі y і z (рис. 11.3) є головними центральними осями інерції перерізу стержня.

Остаточо робимо висновок, що при плоскому згинанні силова і нейтральна лінії в перерізі взаємно перпендикулярні і збігаються з відповідними головними центральними осями інерції. Для нашого випадку нейтральна лінія збігається з віссю z , а силова – з віссю y .

Користуючись формулою Нав'є, побудуємо епюру розподілу нормальних напружень в перерізі довільної форми (рис. 11.4), вважаючи вказані на рисунку осі його головними центральними осями інерції.

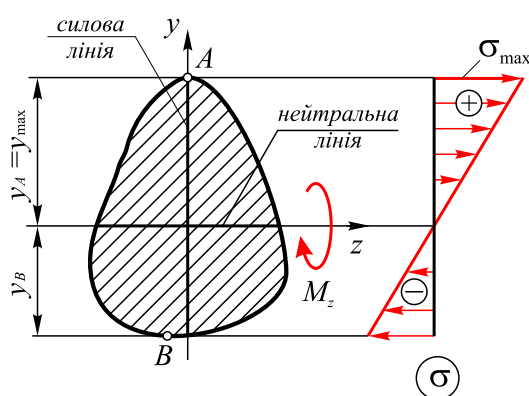


Рис. 11.4. Епюра розподілу нормальних напружень по висоті перерізу стержня

Як можна судити з епюри напружень, найбільше нормальне напруження діє в точці A , тобто в точці, найвіддаленішій від нейтральної лінії (осі z). Знак цього напруження узгоджений з напрямком згинального моменту M_z на рисунку. За такого напрямку верхні волокна стержня розтягаються, а нижні – стискаються. Тоді найбільше нормальне напруження, згідно з формулою (11.6),

$$\sigma_{\max} = \frac{M_z}{I_z} y_{\max}.$$

Позначимо

$$W_z = \frac{I_z}{y_{\max}}, \quad (11.9)$$

де W_z – момент опору перерізу відносно осі z .

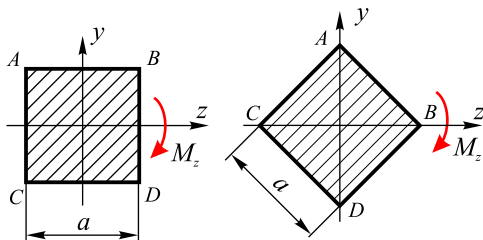
Осьовим моментом опору називають відношення осьового моменту інерції перерізу до відстані до найвіддаленішої точки перерізу від цієї осі.

Тоді найбільше за абсолютною величиною напруження в перерізі знаходять за формулою:

$$\sigma_{\max} = \frac{M_z}{W_z}. \quad (11.10)$$

Для нашого прикладу це напруження розтягу. Щоб визначити найбільше напруження стиску, яке діє в точці B , слід скористатися формулою (11.6), оскільки ця точка не найвіддаленіша від нейтральної лінії:

$$|\sigma_B| = \frac{M_z}{I_z} y_B.$$



Варіант 1

Варіант 2

Рис. 11.5. До прикладу 11.1

Приклад 11.1 Порівняти запаси міцності балки у двох варіантах розташування її поперечного перерізу відносно силової лінії (рис. 11.5), якщо згинальний момент у балці $M_z = 2 \text{ кН} \cdot \text{м}$. Матеріал балки – сталь 20. Переріз балки – квадрат зі стороною $a = 50 \text{ мм}$.

В обох варіантах розташування перерізу осі y і z є головними центральними осями інерції як осі симетрії. При цьому осі y збігаються з силовими лініями, а осі z – з нейтральними лініями перерізів.

Максимальні напруження діють у найвіддаленіших від осі z точках перерізів, які для першого варіанту розташування належать сторонам AB і CD , а для другого – це точки A і D . Моменти інерції відносно осі z для обох варіантів однакові, адже це головні моменти одного й того ж перерізу: $I_z^{(1)} = I_z^{(2)} = a^4/12$. Моменти ж опору відрізняться, оскільки відстані до найвіддаленіших від осі z точок різні:

$$y_{\max}^{(1)} = \frac{a}{2}; \quad y_{\max}^{(2)} = \frac{a}{\sqrt{2}},$$

а значить

$$W_z^{(1)} = \frac{I_z^{(1)}}{y_{\max}^{(1)}} = \frac{a^4}{12} \cdot \frac{2}{a} \approx 0,17a^3; \quad W_z^{(2)} = \frac{I_z^{(2)}}{y_{\max}^{(2)}} = \frac{a^4}{12} \cdot \frac{\sqrt{2}}{a} \approx 0,12a^3.$$

Згідно з формулою (11.10) найбільші напруження в перерізах

$$\sigma_{\max}^{(1)} = \frac{M_z}{W_z^{(1)}} = \frac{2 \cdot 10^6}{0,17 \cdot 50^3} = 94,12 \text{ МПа}; \quad \sigma_{\max}^{(2)} = \frac{M_z}{W_z^{(2)}} = \frac{2 \cdot 10^6}{0,12 \cdot 50^3} = 133,33 \text{ МПа}.$$

Для сталі 20 границя текучості $\sigma_T = 250 \text{ МПа}$ [1, додаток 4]. Тоді запаси міцності балки:

$$\begin{aligned} - \text{ для варіанту 1 } n^{(1)} &= \frac{\sigma_T}{\sigma_{\max}^{(1)}} = \frac{250}{94,12} = 2,66; \\ - \text{ для варіанту 2 } n^{(2)} &= \frac{\sigma_T}{\sigma_{\max}^{(2)}} = \frac{250}{133,33} = 1,87. \end{aligned}$$

Звідси $n^{(1)}/n^{(2)} = 2,66/1,87 = 1,42$.

Отже, запас міцності балки за першим варіантом розташування перерізу відносно силової лінії перевищує запас міцності за другим варіантом розташування майже у 1,5 рази.

Тема 11.2. Дотичні напруження в стержні при плоскому поперечному згинанні

За поперечного згинання в перерізах стержня крім згинальних моментів діють і поперечні сили, з якими пов'язані дотичні напруження. Щоб вивести формулу для їх визначення, розглянемо консольну балку прямокутного перерізу, навантажену зосередженою силою на вільному кінці (рис. 11.6).

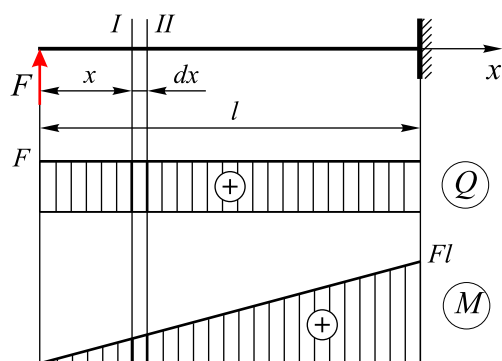


Рис. 11.6. Балка в умовах поперечного згинання

Виріжмо двома суміжними площинами елемент балки dx . В обох перерізах I і II діють, згідно з епюрою Q , однакові за величиною поперечні сили. Згинальні моменти в цих перерізах різні: M і $M+dM$ відповідно (див. рис. 11.7 а). При дії вказаних зусиль в перерізах мають місце нормальні і дотичні напруження.

Нормальні напруження в перерізах I II знаходимо за формулою Нав'є (11.6). Ці напруження для довільного шару волокон відповідно дорівнюватимуть:

$$\sigma' = \frac{M}{I_z} y; \quad \sigma'' = \frac{M + dM}{I_z} y. \quad (11.11)$$

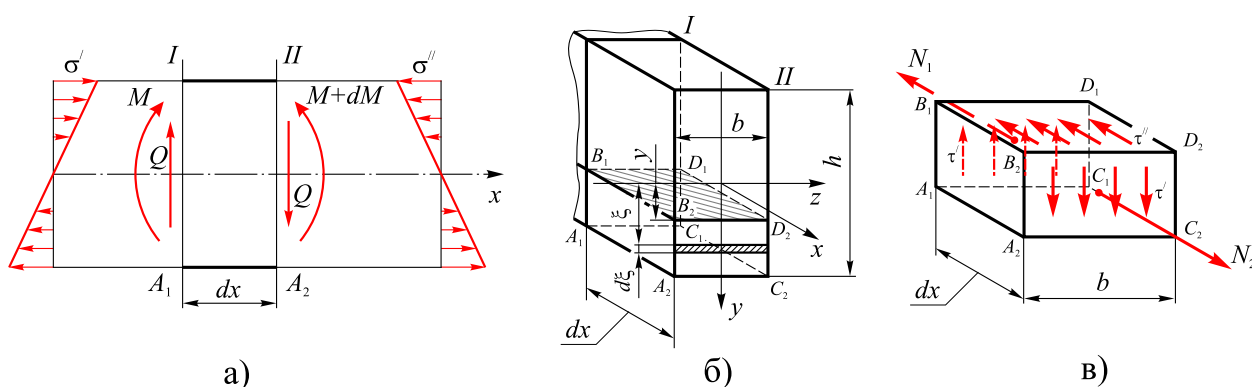


Рис. 11.7. До визначення дотичних напружень при згинанні:
а – схема навантажування елемента балки; б – схема виділення частини елемента балки; в – схема навантажування частини елемента балки

Епюри нормальних напружень представлені на рис. 11.7 а.

Щоб знайти дотичні напруження, сформулюємо деякі припущення щодо характеру їх розподілу в поперечному перерізі.

1. Дотичні напруження τ в перерізі паралельні поперечній силі Q .
2. В даному шарі волокон на відстані y від нейтрального шару дотичні напруження однакові за величиною по всій ширині перерізу.

Примітка 11.1. Ці припущення справедливі лише для перерізів зі співвідношенням сторін $h/b > 2$, коли поперечна сила паралельна стороні h .

Далі площиною, паралельною нейтральному шару балки, на відстані y від нього відріжемо частину елемента стержня (рис. 11.7 б). Розглянемо умови рівноваги елементарного паралелепіпеда $A_1A_2B_1B_2C_1C_2D_1D_2$. Для цього спочатку проаналізуємо, які сили діють у його гранях.

Грані $A_1A_2B_1B_2$, $C_1C_2D_1D_2$ і $A_1A_2C_1C_2$ належать бічній поверхні стержня, вільній від навантаження, тому тут жодні сили не діють.

У грані $A_1B_1C_1D_1$ діють нормальні σ' і дотичні τ' напруження. Знайдемо рівнодійну нормальних напружень $N_1 = \int_A \sigma' dA$. Тут елементарна площадка

$dA = b d\xi$ знаходиться на відстані ξ від нейтральної лінії перерізу (рис. 11.7 б). Тоді

$$N_1 = \int_A \frac{M}{I_z} \xi dA = \frac{M}{I_z} \int_A \xi dA.$$

Тут $\int_A \xi dA = S_z(y)$ – статичний момент площі грані $A_1B_1C_1D_1$ відносно осі z ,

тобто частини площі поперечного перерізу, розташованої між шаром волокон на рівні y та краєм балки. Отже

$$N_1 = \frac{M}{I_z} S_z(y). \quad (11.12)$$

Аналогічно знайдемо рівнодійну N_2 на грані $A_2B_2C_2D_2$:

$$N_2 = \frac{M + dM}{I_z} S_z(y). \quad (11.13)$$

Розглянемо тепер грань $B_1B_2D_1D_2$. Нормальними напруженнями на цій грані, які виникають за рахунок бічного тиску між волокнами при згинанні балки, нехтуємо через їх малість. Дотичні напруження τ'' тут виникають згідно з законом парності дотичних напружень, оскільки діють дотичні напруження τ' на ортогональних гранях (рис. 11.7 в). Через малість грані $B_1B_2D_1D_2$ (один її розмір dx) вважатимемо напруження τ'' рівномірно розподіленими, а їх рівнодійна

$$dT = \tau'' b dx = \tau b dx$$

Запишемо рівняння рівноваги елемента, спроектувавши сили на вісь X :

$$\sum X = N_2 - N_1 - dT = 0,$$

або

$$\frac{M + dM}{I_z} S_z(y) - \frac{M}{I_z} S_z(y) - \tau b dx = 0.$$

Звідси

$$\tau b dx = \frac{dM}{I_z} S_z(y).$$

Враховуючи, що $dM/dx = Q$, остаточно отримаємо:

$$\tau = \frac{Q S_z(y)}{b I_z} \quad (11.14)$$

Дану формулу вперше вивів Д.І. Журавський, відомий російський інженер українського походження, чиє ім'я ця формула і носить.

Для прямокутного перерізу статичний момент

$$S_z(y) = b(0,5h - y) \left(y + \frac{0,5h - y}{2} \right) = b(0,5h - y)(0,5y + 0,25h) = \frac{bh^2}{8} \left(1 - \frac{4}{h^2} y^2 \right).$$

Тоді, беручи до уваги, що для прямокутника $I_z = \frac{bh^3}{12}$, отримаємо:

$$\tau = \frac{Q}{b} \frac{bh^2}{8} \left(1 - \frac{4}{h^2} y^2 \right) \frac{12}{bh^3} = \frac{3}{2} \frac{Q}{bh} \left(1 - \frac{4}{h^2} y^2 \right). \quad (11.15)$$

З наведеної формули випливає, що залежність між дотичними напруженнями в перерізі при поперечному згинанні і положенням шару волокон відносно нейтральної лінії параболічна. В крайніх точках перерізу при $y = h/2$ $\tau = 0$. Найбільші дотичні напруження виникатимуть у нейтральному шарі, коли $y=0$:

$$\tau_{\max} = \frac{3}{2} \frac{Q}{bh} = \frac{3}{2} \frac{Q}{A}. \quad (11.16)$$

Епюра розподілу дотичних напружень по висоті прямокутного перерізу зображена на рис. 11.8.

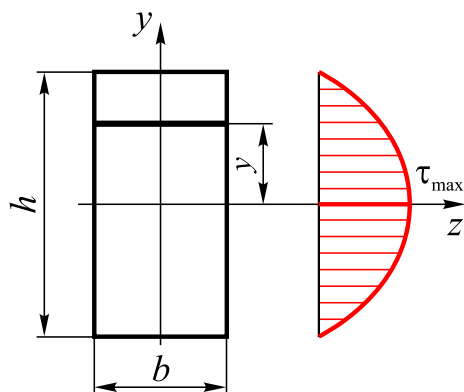


Рис. 11.8. Епюра дотичних напружень для прямокутного перерізу

Хоча формула Журавського була виведена для прямокутних перерізів зі співвідношенням $h/b > 2$, тим не менше на практиці нею можна скористатися для перерізів будь-якої форми, за виключенням вузьких прямокутників, розташованих так, що силова лінія паралельна до меншої сторони b . Такі перерізи нами будуть розглянути пізніше.

Отже, для довільного перерізу формулу Журавського можна записати в такому вигляді:

$$\tau = \frac{QS_z(y)}{b(y)I_z}. \quad (11.17)$$

Тут $b(y)$ – ширина перерізу на тому рівні, де визначаються дотичні напруження, і яка для довільного перерізу буде величиною змінною.

Приклад 11.2 Скориставшись даними прикладу 11.1, порівняти найбільші дотичні напруження в перерізах за двох варіантів їх розташування (рис. 11.5), припустивши, що крім згинальних моментів у перерізі балки діятиме ще й сила Q .

Варіант 1. Найбільше дотичне напруження знайдемо за формулою для прямокутника (11.16).

$$\tau_{\max}^{(1)} = 1,5 \frac{Q}{a^2}.$$

Варіант 2. Найбільше дотичне напруження, яке виникає у нейтральному шарі, знайдемо за формулою (11.16). Для нашого перерізу $S_z(y) = S_{z\max} = A'h' = \left(\frac{a^2}{2}\right) \frac{1}{3} \frac{a}{\sqrt{2}} = \frac{a^3}{6\sqrt{2}}$. Тут A' – площа трикутника ABC , яка дорівнює половині площі квадрата (рис. 11.5), а h' – відстань від центра ваги цього трикутника до осі z . Тоді

$$\tau^{(2)} = \frac{QS_z(y)}{b(y)I_z} = \frac{Q \cdot 12}{\sqrt{2}a \cdot a^4} \cdot \frac{a^3}{6\sqrt{2}} = \frac{Q}{a^2}.$$

Отже $\tau_{\max}^{(1)} / \tau_{\max}^{(2)} = 1,5$, тобто дотичні напруження за першим варіантом розташування перерізу у півтора рази перевищують напруження за другим варіантом розташування.

Тема 11.3. Аналіз напруженого стану стержня по висоті перерізу за плоского поперечного згинання. Розрахунок на міцність

Виходячи з характеру розподілу діючих при поперечному згинанні напружень, робимо висновок, що напружений стан в перерізах стержнів неоднорідний, і це має враховуватись у розрахунках на міцність.

Розглянемо шарнірно оперту двоопорну балку (рис. 11.9).

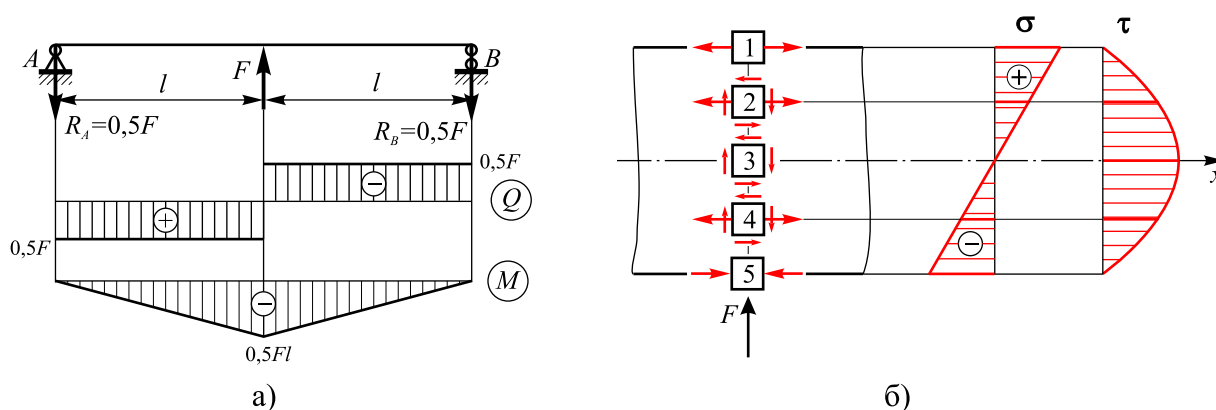


Рис. 11.9. До аналізу напруженого стану балки при поперечному згинанні: а – схема навантаження балки та епюри зусиль; б – напружений стан в точках по висоті перерізу балки

В довільному перерізі балки, крім опорних перерізів \$A\$ і \$B\$, одночасно діють поперечні сили і згинальні моменти, епюри яких представлені на рис. 11.9 а. На рис. 11.9 б зображені епюри розподілу нормальних і дотичних напружень по висоті перерізу. Виберемо ряд точок в перерізі стержня та проаналізуємо напружений стан в них.

Точка 1. Це найвіддаленіша від нейтрального шару точка. Тут $\sigma = \sigma_{\max} = \frac{M}{W}$; $\tau = 0$.

Маємо лінійний напружений стан, і умова міцності для цієї точки запишеться так:

$$\sigma_{\max} = \frac{M}{W} \leq [\sigma]. \quad (11.18)$$

Точка 2. Тут

$$\sigma = \frac{M}{I_z} y; \quad \tau = \frac{QS_z(y)}{b(y)I_z}.$$

Має місце плоский напружений стан. Щоб перевірити точку 2 на міцність, слід скористатися відповідним критерієм міцності, залежно від матеріалу балки.

Визначимо головні напруження в цій точці. Згідно з формулою (4.46) (див. лекцію 7)

$$\sigma_1 = \frac{1}{2} \left(\sigma + \sqrt{\sigma^2 + 4\tau^2} \right); \quad \sigma_2 = 0; \quad \sigma_3 = \frac{1}{2} \left(\sigma - \sqrt{\sigma^2 + 4\tau^2} \right).$$

Якщо матеріал балки *крихкий*, то слід скористатися критерієм найбільших нормальних напружень (перша теорія міцності). Умова міцності за цією теорією

$$\sigma_p^I = \sigma_1 = \frac{1}{2} \left(\sigma + \sqrt{\sigma^2 + 4\tau^2} \right) \leq [\sigma]. \quad (11.19)$$

Якщо матеріал балки *пластичний*, то скористаємось критерієм найбільших дотичних напружень (третя теорія міцності) або критерієм найбільшої потенціальної енергії формозміни (четверта теорія міцності). За цими теоріями розрахункові напруження відповідно дорівнюють:

$$\sigma_p^{III} = \sigma_1 - \sigma_3;$$

$$\sigma_p^{IV} = \frac{1}{\sqrt{2}} \sqrt{(\sigma_1 - \sigma_2)^2 + (\sigma_2 - \sigma_3)^2 + (\sigma_3 - \sigma_1)^2}.$$

Підставляючи знайдені вирази для головних напружень, отримуємо умови міцності в такому вигляді:

$$\sigma_p^{III} = \sqrt{\sigma^2 + 4\tau^2} \leq [\sigma]; \quad (11.20)$$

$$\sigma_p^{IV} = \sqrt{\sigma^2 + 3\tau^2} \leq [\sigma]. \quad (11.21)$$

Якщо матеріал балки *по-різному опирається розтягання і стисканню*, то слід скористатися критерієм Мора (п'ята теорія міцності):

$$\sigma_p^V = \sigma_1 - \frac{[\sigma]_p}{[\sigma]_{cm}} \sigma_3.$$

Позначивши $[\sigma]_p / [\sigma]_{cm} = m$, отримуємо умову міцності:

$$\sigma_p^V = \frac{1-m}{2} \sigma + \frac{1+m}{2} \sqrt{\sigma^2 + 4\tau^2} \leq [\sigma]. \quad (11.22)$$

Точка 3. Ця точка належить нейтральному шару, де $\sigma = 0$; $\tau = \tau_{\max}$. Умова міцності:

$$\tau_{\max} = \frac{QS_{\max}}{bI_z} \leq [\tau]. \quad (11.23)$$

Точка 4. Тут умови міцності аналогічні до умов міцності для точки 2.

Точка 5. Як і у точці 1, тут має місце лінійний напружений стан. Якщо відстань від нейтрального шару до точки 5 така ж, як до точки 1, тобто переріз симетричний відносно осі z , то умова міцності для точки 5 записується аналогічно до умови (11.18). Оскільки в нашому прикладі в цій точці діють стисні напруження, отримуємо таку умову міцності:

$$|\sigma_{\max}| = \frac{M}{W} \leq [\sigma]_{cm}. \quad (11.24)$$

Якщо ця точка знаходиться ближче до нейтрального шару, ніж точка 1, то умову міцності слід записати так:

$$\sigma'_{\max} = \frac{M}{I_z} y^{(5)} \leq [\sigma]_{cm}. \quad (11.25)$$

Тут σ'_{\max} – напруження у точці 5, і вони є найбільшими напруженнями стискання в перерізі; $y^{(5)}$ – відстань від нейтрального шару до точки 5.

Примітка 11.2. Якщо матеріал стержня однаково опирається розтягнню і стисканню, то перевіряти слід лише точки 1, 2 і 3.

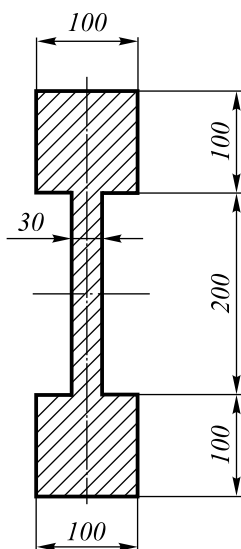


Рис. 11.10. До прикладу 11.3

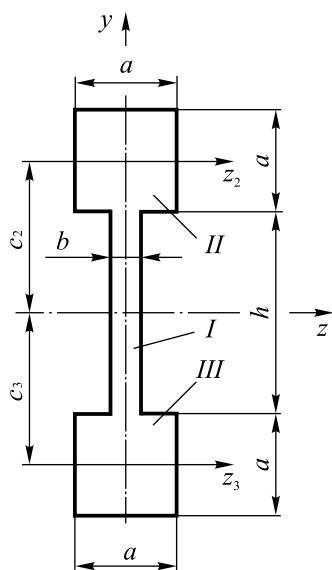
Приклад 11.3. Визначити запаси міцності у потенційно небезпечних точках балки, зображеної на рис.11.9 а, прийнявши $F = 700$ кН, $l = 1$ м. Поперечний переріз балки зображений на рис. 11.10. Матеріал балки – сталь з границею текучості $\sigma_T = 250$ МПа.

1. Згідно з етюрами зусиль (рис. 11.9 а), небезпечний переріз знаходиться посередині балки, де діє максимальний згинальний момент $M_{\max} = 0,5Fl = 0,5 \cdot 700 \cdot 1 = 350$ кН·м і поперечна сила $Q = 0,5F = 0,5 \cdot 700 = 350$ кН.

2. Знайдемо головний центральний момент інерції перерізу.

Оскільки переріз має дві осі симетрії, то ці осі і є головними центральними осями інерції.

Щоб знайти моменти інерції відносно осі z , розіб'ємо переріз на складові: прямокутник I і два однакових квадрати II і III (рис. 11.11). Тоді



$$I_z = I_{z_I} + I_{z_{II}} + I_{z_{III}} = \frac{bh^3}{12} + 2 \left(\frac{a^4}{12} + c_2^2 A_2 \right) =$$

$$= \frac{30 \cdot 200^3}{12} + 2 \left(\frac{100^4}{12} + 150^2 \cdot 100^2 \right) = 48666,67 \cdot 10^4 \text{ мм}^4.$$

Момент опору перерізу:

$$W_z = \frac{I_z}{y_{\max}} = \frac{48666,67 \cdot 10^4}{200} = 243,33 \cdot 10^4 \text{ мм}^3$$

3. Побудуємо епюри розподілу напружень по висоті перерізу балки.

3.1. Епюра нормальних напружень.

Знайдемо величину максимального нормального напруження:

$$\sigma_{\max} = \frac{M}{W_z} = \frac{350 \cdot 10^6}{243,33 \cdot 10^4} = 143,84 \text{ МПа}$$

Рис. 11.11. До прикладу 11.3

На нейтральній лінії перерізу (вісь z) $\sigma = 0$.

За цими значеннями будуємо епюру нормальних напружень (рис. 11.12). Беручи до уваги що, згідно зі схемою навантаження (рис. 11.9 а), верхні волокна балки розтягнені, нормальні напруження в цих волокнах будуть додатними.

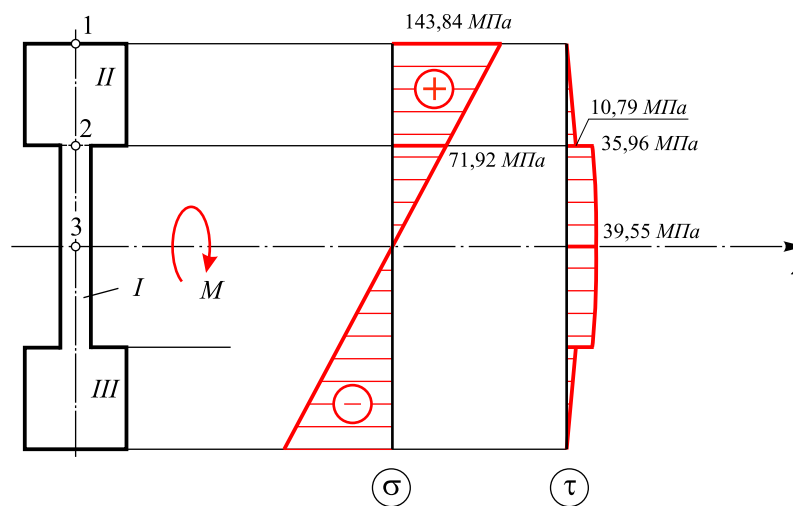


Рис. 11.12. Епюри напружень в перерізі балки при поперечному згинанні

3.2. Для побудови епюри дотичних напружень обчислимо їх значення в точках, вказаних на рис.11.12.

Точка 1. Дотичні напруження відсутні: $\tau = 0$.

Точка 2. Статичний момент площі, розташованої вище рівня точки 2, тобто квадрата II

$$S_z^{(II)} = A_2 c_2 = 100^2 \cdot 150 = 150 \cdot 10^4 \text{ мм}^3.$$

Щоб визначити дотичні напруження для цього рівня відносно нейтральної лінії, слід розглянути насправді дві точки: 2^* , що належить стороні квадрата II, і 2^{**} , що належить стороні прямокутника I, оскільки ширина перерізу $b(y)$ в цих точках різна.

Для точки 2^*

$$\tau^{(2^*)} = \frac{QS_z^{II}}{b^{(2^*)}I_z} = \frac{350 \cdot 10^3 \cdot 150 \cdot 10^4}{100 \cdot 48666,67 \cdot 10^4} = 10,79 \text{ МПа}.$$

Для точки 2^{**}

$$\tau^{(2^{**})} = \frac{QS_z^{II}}{b^{(2^{**})}I_z} = \frac{350 \cdot 10^3 \cdot 150 \cdot 10^4}{30 \cdot 48666,67 \cdot 10^4} = 35,96 \text{ МПа}.$$

Точка 3. Статичний момент площі половини перерізу відносно осі z

$$S_z = S_z^{(II)} + S_z^{(I^{**})} = 150 \cdot 10^4 + 100 \cdot 30 \cdot 50 = 165 \cdot 10^4 \text{ мм}^3.$$

Тоді

$$\tau^{(3)} = \tau_{\max} = \frac{QS_z}{b^{(2^{**})}I_z} = \frac{350 \cdot 10^3 \cdot 165 \cdot 10^4}{30 \cdot 48666,67 \cdot 10^4} = 39,55 \text{ МПа}.$$

4. Знайдемо запаси міцності балки в указаних точках.

Точка 1. Тут $\sigma_{\max} = 143,84 \text{ МПа}$. Запас міцності

$$n_1 = \frac{\sigma_T}{\sigma_{\max}} = \frac{250}{143,84} = 1,74.$$

Точка 2^{} .** Тут $\sigma = \frac{M}{I_z} y^{(2)} = \frac{350 \cdot 10^6}{48666,67 \cdot 10^4} 100 = 71,92 \text{ МПа}$; $\tau^{(2^{**})} = 35,96 \text{ МПа}$.

$$\sigma_p^{III} = \sqrt{\sigma^2 + 4\tau^2} = \sqrt{71,92^2 + 4 \cdot 35,96^2} = 101,71 \text{ МПа}.$$

$$n_{2^{**}} = \frac{\sigma_T}{\sigma_p^{III}} = \frac{250}{101,71} = 2,46.$$

Точка 3. Тут $\tau_{\max} = 39,55 \text{ МПа}$. Поклавши $\tau_T = 0,5\sigma_T = 0,5 \cdot 250 = 125 \text{ МПа}$, знаходимо, що

$$n_3 = \frac{\tau_T}{\tau_{\max}} = \frac{125}{39,55} = 3,16.$$

З отриманих результатів робимо висновок, що найменший запас міцності маємо в точці 1 перерізу. Отже небезпечними є крайні точки перерізу розглянутої балки.